

## 河口湖の給排水に伴う密度流現象

東北大学工学部 教授 岩崎敏夫  
東北大学大学院 学生 ○上原忠保  
東北大学工学部 学生 今野健太郎

### 1. はじめに

最近の工業の発展とともに、水需要は急増の一途をたどっている。従来、主として行なわれてきた河川上流又は中流部の多目的ダムによる水資源開発のみでは、今後の用水取得に十分であるとはいえない。このような現状を反映して、河川下流部(河口)に人造湖を築造し、水利権等のからまない無効放流水や大量の洪水等を貯留し、これを工業用水にあてようとする、いわゆる河口湖に対する関心は、とみに高まってきてている。しかし、河口湖では、その位置が海浜であるため海水の浸入防止、風による拡散あるいは、池内水位の調節等、数多くの特殊な問題が解決されなければならない。一般に、河口湖は下層は、かなり高濃度の塩水になる場合が多く、一方上層は、夏期において、輻射エネルギーのため、温度成層が形成されると考えられる。従って、湖内からの工業用水取水、そのうちでも上層で、塩水層との境界面付近の水が欲しい場合には、下層からの塩水をとりださない取水量の限界を知ることが必要である。

本研究は、河口湖の最も簡単なモデルが矩形二次元水路(長さ3m、幅50cm、深さ80cm)で考えられるものとして、湖内からのオリフィスによる上層取水(排水)の限界速度、パイア径、及びパイア高等の関係を、河川からのパイアによる注水(給水)が、行なわれた場合について、実験的に考察するものである。

### 2. 次元解析

上層取水については、貯水池からの温水取水の研究がすでにいくつか発表されている。Crayanは図-1に示されるようなダム上流面からの横方向取水について、取水しない場合、当初水平であった界面が、取水速度を増していくにつれて、次第に上方へ曲ってきて、ちょうどこの界面が、取水口に達した時の限界取水速度 $V_c$ 、内部界面と取水口中心の高さ $\zeta_0$ 、オリフィスの内径 $D$ の解析を行った。すなわち

$$\frac{V_c}{\sqrt{\varepsilon g \zeta_0}} = 3.25 \left( \frac{\zeta_0}{D} \right)^2 \quad ①$$

ただし、上下二層の水深を無限大とし、 $D \ll \zeta_0$ なる仮定を行って $\varepsilon = \Delta p / p_1$ 。

人造淡水湖は、水深に制限があり(10m前後)、取水パイアも大きなものを必要とすると考えられるので、注入水の影響も含まれた図-2のような場合を考える。次元解析を行うために、取水口付近の運動の限界状態を支配する変数およびその定義を示すと、取水口に関するものとして、

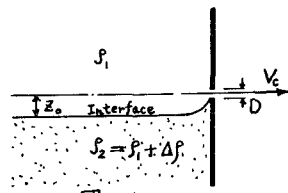
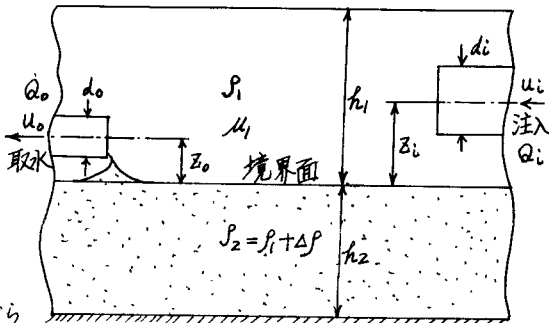


図-1

- イ)  $z_0$ ; 内部境界面より取水口中心までの高さ  
 ロ)  $d_0$ ; 取水口(オリフィス)の内径  
 ハ)  $U_0$ ; 限界取水速度( $4Q_0/\pi d_0^2$ )  
 ニ)  $\rho_1$ ; 上層流体密度  
 モ)  $\Delta \rho$ ;  $\Delta r = g \cdot \Delta p$  比重量差  
 ハ)  $\mu_1$ ; 上層流体粘性係数  
 ナ)  $h_1$ ; 上層水深

図-2



$$\Psi'_1(\frac{Z_0/d_0}{d_0/h_1}, \frac{d_0/h_1}{Fro'}, Re) = 0 \quad \text{--- (4)}$$

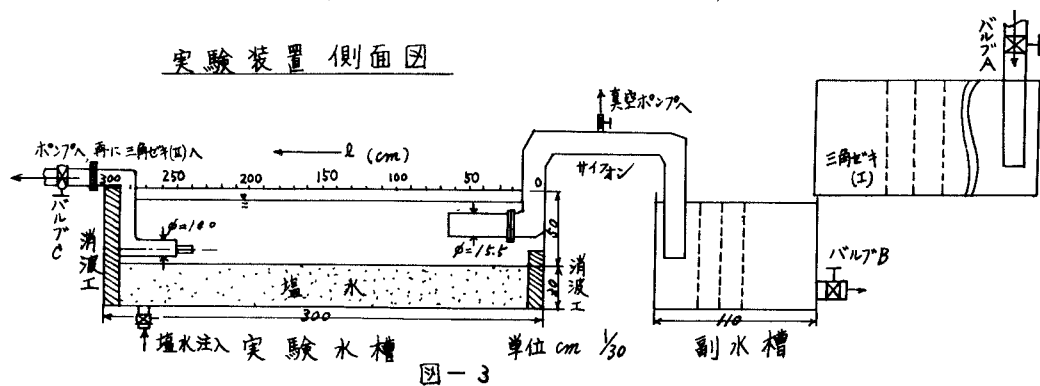
$$\varphi_2' \left( \frac{z_0/d_0}{z_0/h_1}, \frac{u_0}{(\frac{\Delta P}{P_1} g z_0)^{\frac{1}{2}}}, \frac{u_0 z_0}{v_1} \right) = 0 \quad \dots \quad (5)$$

これらの結果の一般性を見いだすため実験を行った。

### 3 実験装置

実験装置は図-3に示されるように、四面10mmの強化ガラス張りで、水路底には、塩化ビニル板を敷き、その他パイプはすべてエスロン製で塩水による腐蝕を防止した。注入水は、流量が多くなると水路末端に達してから反射を起す。境界面には内部波が発生する。この2つの理由で両端に消波工を設けた。予想される注入量を、バルブAによって、定水位の高水槽から三角せき(I)へ自由落下させる。実験水槽への注入位置と高さを、自由に変化できるように、一度副水槽でこの水を貯留し、サイフォンを用いて注入させた。取水には渦巻きポンプと用いた。取水管径を5種類とし、ポンプと結ばれているφ=10cmのパイプの先のエルボに簡単に取りつけられるようにした。図-4参照。管高は2種類とした。取水流量は、バルブCにより調節し、三角せき(II)で計量した。

## 実験装置側面図



#### 4 実験及び測定方法

塩水は  $1.01, 1.02, 1.03$  の3種類とし、下層水深は  $30\text{ cm}$  で常に一定である。これとローダミンB(赤)で着色、極めて明確に識別できた。二重層は、図-5のような注水板と、実験水槽でつくった塩水層上に浮べて、静かに水道水を注入して作った。実験の種類を表-1に示す。管径は現地水深  $10\text{ m}$ 、実験水槽水深  $70\text{ cm}$ 、として現地管径が  $0.5\sim 2\text{ m}$  位の場合にあたる。 $Z_0, d_0, \Delta P$  は所定のものに設定し、サイフォンの頂部まで空気を排除して水を両水槽より吸いあけ作動状態にする。小量の取水に対し 上層水深が一定に保たれるように注水量をバルブA, Bにより調節する。次第に取水量を多くしていくと限界の状態までくりかえす。上層水深は大体  $40\text{ cm}$  付近で行ったが、調節中水面変動がはげしいと境界面に周期の長い内部波が発生するので注意した。限界速度に達すると着色された塩水が上昇してくる。この塩水濃度を取水口下  $1\text{ cm}$  付近で常に記録した。境界面付近は図-6に示すように完全な不連続面とはならない。塩水層で濃度の一定となる部分の濃度の  $50\sim 70\%$  が、上昇塩水に認められた時と、塩水の上昇形状も参考にして、限界値とした。

測定は、濃度(密度)分布、流速分布の2つ行った。濃度は、限界状態における境界面の状況を調べるために、 $l = 240, 225, 210, 190, 170, 150, 130$  の水路中の中心で、水深方向  $10, 5, 1, 0.5\text{ cm}$  の間隔で分布をとった。一つのプローブは、常に取水管の真下において。この方法の原理には2本の白金電極( $0.3\sim 0.5\text{ mm}$ )間の電気抵抗が、溶液の濃度によって変わることを利用していている。流速は、四塩化炭素(比重  $1.60$ )とキシレン(比重  $0.87$ )を混合し、上層流体密度と同一とし、ズタンⅢ(赤)にて着色した水に不溶な液と、注射針から直径  $1\sim 1.5\text{ mm}$  位の液滴に噴出させて、その流下時間から求めた。注入口及び取水口付近の流速の早い部分には、小型のプロペラ式流速計も併用した。原理はプロペラが回転するとき羽の中に導体が入っているので電極と羽が一直線となった時、電流が流れ、その結果がパルスとなつてあらわされるものである。

#### 5 実験についての考察

注入は、 $d_0, Z_0, \Delta P$  がそれぞれ  $15.5\text{ cm}, 25\text{ cm}$  で行った。パイプからはジェットが  $1.8\text{ cm/s} \sim 1.2\text{ cm/s}$  で流出する。 $(Q_0/A_0)$  ジェットは拡散して境界面や両壁面の影響を受けながら流下するはずである。本実験水槽は長さが短いため特別な流況を呈した。実験中水位を一定に保つたので注水量と取水量は同一である。取水管高が高くなると、流入流量は増加し、取水口付近でもまだかなりの流速を維持している。このため取水口に全流線が集中せず、後方にそれるものもある。後方の消波工でも、この流れは反射を起し、注入水脈の下にもぐり込む。次々と流入すれば、境界面に沿った反流が起つて、流入ジェットは下方向へはならず反流の層の上を流れる。この反流は、反流の無い場合の

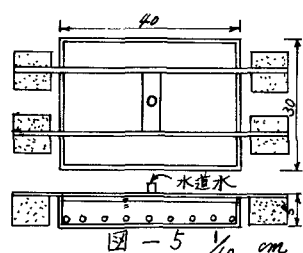
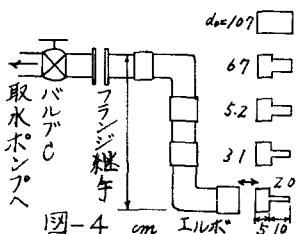


表-1

| No. | $d_0$ | $Z_0$ | $\Delta P$ | No. | $d_0$ | $Z_0$ | $\Delta P$ |
|-----|-------|-------|------------|-----|-------|-------|------------|
| 1   | 2.0   | 15    | 0.01       | 15  | 3.1   | 1     | "          |
| 2   | 3.1   | "     | "          | 16  | 5.2   | "     | "          |
| 3   | 5.2   | "     | "          | 17  | 6.7   | "     | "          |
| 4   | 6.7   | "     | "          | 18  | 10.7  | "     | "          |
| 5   | 2.0   | 10    | "          | 19  | 2.0   | 5     | 0.03       |
| 6   | 3.1   | "     | "          | 20  | 3.1   | "     | "          |
| 7   | 5.2   | "     | "          | 21  | 5.2   | "     | "          |
| 8   | 6.7   | "     | "          | 22  | 6.7   | "     | "          |
| 9   | 10.7  | "     | "          | 23  | 2.0   | 10    | "          |
| 10  | 2.0   | 5     | 0.02       | 24  | 3.1   | "     | "          |
| 11  | 3.1   | "     | "          | 25  | 5.2   | "     | "          |
| 12  | 5.2   | "     | "          | 26  | 6.7   | "     | "          |
| 13  | 6.7   | "     | "          | 27  | 10.7  | "     | "          |
| 14  | 2.0   | 10    | "          |     |       |       |            |

ジェットの拡散域を通りすぎると、急に流速が弱まり、流入ジェットの中へひきこまれる。このため、境界面のこの部分 ( $l=100 \sim 130$ ) は もりあがり、反流の方向に進行する波高の低い内部波が、この付近に発生し、碎波もともなう。このもりあがりは、高さ2ス ~ 3 cmであるが、不連続的にこの位置で終り、それより先の境界面は、水平である。側面より見たこがらの状況を図-7aに示す。一方、平面的にみると本来の噴射ジェットは側壁の影響を受けて噴射主体の両側に渦領域とつくり、側壁に達した後は、一様流として流れることは必ずある。ジェットが反転を始めるとこの一様流の両側に反流が生ずる。このためジェットは拡散しないで、水道のようなものとつくり、流下し、その両側を反流か逆流する。この時、ジェットは拡がろうとするので反流には渦が生じ、この渦によって水道は複雑な蛇行をする。(図-7b)

取水口付近の流れに注目するとき、これらの状況がどの程度影響を与えるかを知らねばならない。限界取水速度に達すると境界面は上昇するわけであるが、その仕方には2通りあるように思われる。第1は、流速を次第にあげていった時、取水口に向う淡水流れが境界面に沿ってセン断応力を起し、境界面を引きあけてゆくものである。この時の形状は、図-8aの如く、ゆったりとしたすそをひく。云々の低い場合に多い。

第2は、云々の高い場合や、セン断力だけでは上昇はおこらず、取水管下の境界面に波高の小さい波が発生して、碎波する。この波頭は、淡水流によつて、取水口まで細くひきあげられる。幾本も集まると安定した形状となり、図-8bの様に細長く、すそはひかない。いすれの場合にも上昇する境界面には、水面からけつて左巻きの渦(直径10~20m)が発生し、上昇海水も左巻きのねじれを起した。図-9に云々が高く、流量の多い場合と云々の低い場合の実験中の境界面の状態を示す。境界面は、その実験によつてまちまちとなるので、実験前の静止した境界面の濃度分布曲線から求めた。図-6において、淡水層中の一定濃度の部分を延長し、これと濃度勾配のついている部分の変曲点における接線との交点Pを境界面と定めた。実験結果の一部を図-10に示す。現在なお整理中であり、当日まとめて発表を致します。昭和42年度文部省科学研究費を受けた事を付記し、感謝之意を表します。

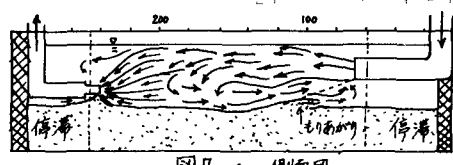
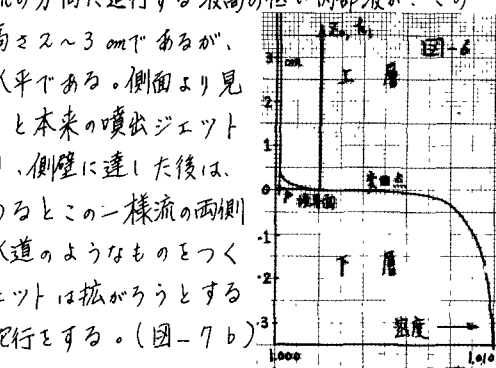


図7-a 側面図



図7-b 平面図

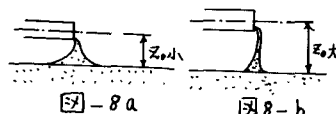


図8-a

図8-b

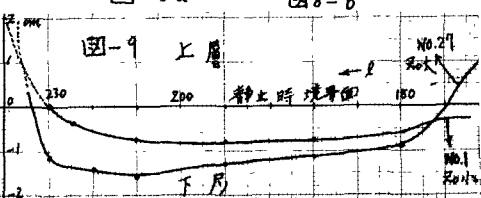


図9 上層

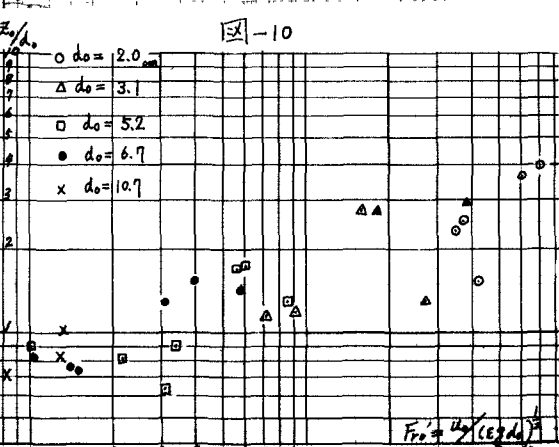


図10